



استفاده از حل جریان ماندگار برای شبیه‌سازی عمق آبستنگی موضعی اطراف پایه‌های استوانه‌ای در شرایط ناماندگار

*امیراحمد دهقانی^۱، تایمز اسماعیلی^۲ و زهرا صادقی^۳

^۱استادیار گروه مهندسی آب، دانشگاه علوم کشاورزی و منابع طبیعی گرگان، ^۲مریبی گروه مهندسی عمران، دانشگاه آزاد اسلامی مرکز آق قلا، ^۳دانش آموخته کارشناسی گروه مهندسی آب، دانشگاه علوم کشاورزی و منابع طبیعی گرگان،

تاریخ دریافت: ۹۱/۰۲/۲۵؛ تاریخ پذیرش: ۹۱/۰۴/۱۳

چکیده

آبستنگی موضعی اطراف پایه پل‌ها همواره به عنوان یک پدیده نامطلوب و تهدید کننده این‌منی پل‌ها مطرح بوده است. در این پدیده که الگوی جریان به صورت سه بعدی در اطراف پایه پل نقش مهمی ایفا می‌کند، مصالح اطراف پایه پل شسته شده و یک حفره نعل اسپی شکل اطراف پایه پل ایجاد می‌شود. قراردادن پی‌پایه پل در عمقی بیش از عمق آبستنگی متناظر با سیل طرح، سالیان متتمدی به عنوان یکی از گزینه‌های مقابله با این پدیده مخرب مطرح بوده است. قرارگیری پی‌پایه پل در فاصله زیاد از بستر رودخانه باعث غیراقتصادی شدن طرح می‌گردد. در شرایط واقعی، جریان‌های سیلانی که باعث انهدام پل‌ها می‌گردند ناپایدار هستند. در این پژوهش با بهره‌گیری از مدل ریاضی سه‌بعدی SSIIM آبستنگی موضعی اطراف تک پایه استوانه‌ای تحت هیدروگراف جریان به کمک جریان‌های دائمی شبیه‌سازی گردید. نتایج نشان می‌دهد که در این روش بیش از ۷۰ درصد عمق آبستنگی نهایی تا انتهای شاخه صعودی هیدروگراف ایجاد می‌شود. همچنین با استفاده از مدل ریاضی SSIIM می‌توان با دقت مناسبی، حداقل عمق آبستنگی موضعی در انتهای شاخه صعودی را تخمین زد.

واژه‌های کلیدی: آبستنگی موضعی، هیدروگراف سیلان، جریان‌های غیر دائمی، مدل ریاضی SSIIM

Archive of SID

پیش‌بینی حداقل عمق آبستنگی موضعی اطراف پایه پل‌ها به عنوان یکی از مصوّعات عمومی در مهندسی رودخانه مطرح است (اسماعیلی و همکاران، ۲۰۰۹a). روابط متعددی جهت تخمین عمق آبستنگی در حالت نهایی ارائه شده ولی اغلب این رابطه‌ها مبنی بر تجربیات آزمایشگاهی هستند که در آن‌ها از فرضیات زیادی استفاده شده است. از سوی دیگر پیش‌بینی عمق آبستنگی تعادلی بر اساس دبی سیل طراحی و به وسیله یک رابطه معمولاً مستقل از زمان صورت می‌پذیرد و این در حالی است که افزایش عمق آبستنگی پدیده‌ای است که با زمان رابطه مستقیم دارد به‌گونه‌ای که در ابتدا آهنگ آبستنگی بالا بوده ولی با گذشت زمان و نزدیک شدن به عمق تعادل از سرعت توسعه آن کم شده و در نهایت متوقف می‌گردد (اسماعیلی و همکاران، ۲۰۰۹b).

سیستم اصلی گردابه‌ای که به تشکیل حفره‌های آبستنگی کمک می‌کند از برخورد جریان به جلوی پایه و انحراف آن به طرف پایین ایجاد می‌شود که مانند یک جت عمودی آب عمل کرده و مواد کناره پایه پل را همراه جریان به بالا پرتاپ نموده و جریان آب، آن را با خود حمل می‌کند. در نتیجه در جلوی پایه گودالی حفر می‌شود که در داخل این گودال جریان چرخشی ایجاد شده و به تدریج عمق حفره زیاد می‌گردد. جریان چرخشی در جلو پایه به دو طرف پایه نیز امتداد می‌یابد و شکل نعل اسی را به خود می‌گیرد (زراتی، ۲۰۰۲).

طبق نظر بعضی از محققان این عامل در ابتدا ضعیف است ولی پس از تشکیل حفره آبستنگی، سیستم جریان نعل اسی از نظر قدرت و اندازه رشد می‌کند. با زیاد شدن عمق آبستنگی، مقدار سرعت جریان در نزدیک کف حفره کم شده و هنگامی که قدرت نیروهای محرک تقریباً برابر نیروهای مقاوم گردید، آبستنگی متوقف می‌شود. گردابه‌های نعل اسی نیز در اثر جدا شدن خطوط جریان به علت وجود پایه پل در مسیر جریان آب به وجود می‌آید (شفاعی بجستان، ۲۰۰۵).

پیشگویی دقیق الگوی آبستنگی در اطراف پایه پل به حل مجدد ساختار جریان و مکانیسم انتقال رسوب به داخل و خارج حفره آبستنگی وابسته است (مندوزا-کابرالز، ۱۹۹۳). پدیده آبستنگی موضعی، باعث ایجاد یک حفره در مجاورت پایه پل شده که در صورت طراحی نامناسب، با توسعه عمق این حفره **SID** (سیستم آب) به تراز پی، سازه پل در آستانه انهدام قرار می‌گیرد. آبستنگی موضعی در هنگام قوع سیلاب‌ها پدیده‌ای وابسته به زمان می‌باشد و از آنجا که جریان سیلابی به صورت هیدرولوگراف جریان نشان داده می‌شود می‌توان اظهار نمود که آنچه در واقعیت اتفاق می‌افتد آبستنگی

موضوعی تحت جریان‌های غیردائمی است (اسماعیلی، ۲۰۰۹). تعداد زیاد پارامترهای موثر بر پدیده آبشنستگی بر پیچیدگی آن می‌افزاید، از این رو نیاز به یک مدل ریاضی توانمند که با استفاده از گسته‌سازی معادلات حاکم بر میدان جریان و رسوب و اعمال یک سری فرضیات ساده کننده، روابط پیچیده حاکم بر این پدیده را به معادلات دیفرانسیل ساده و قابل حل تبدیل نماید، بهطور جدی احساس می‌شود. نرم‌افزار^۱ SSIIM بهدلیل حل معادلات جریان و رسوب در سه بعد از دقت بالایی برخوردار است (اسماعیلی و همکاران، ۲۰۰۹).

آندهام سازه پل که نقشی مهم در شریان‌های ارتباطی کشورها دارد، تبعات اقتصادی و اجتماعی نامطلوب زیادی به دنبال خواهد داشت. در ایالات متحده، آبشنستگی یکی از دلایل اصلی خرابی پل است (موریلو، ۱۹۸۷). هزینه‌های مربوط به تغییر سازه‌ها یا ساختن مجدد آنها قابل توجه می‌باشد ولی کمتر از ۵ برابر هزینه‌های غیرمستقیم اخلال در حمل و نقل و ترافیک است (روهدز و ترننت، ۱۹۹۹؛ کاوی، ۲۰۰۴).

عمق آبشنستگی تعادلی در زمان نسبتاً طولانی ایجاد می‌شود و ممکن است دبی پیک جریان به اندازه‌ای تداوم نداشته باشد که عمق آبشنستگی تعادل را به وجود آورد. بنابراین امکان دارد عمق آبشنستگی تعادل بزرگتر از مقداری باشد که در طول زمان تداوم کوتاه‌تر ایجاد می‌گردد (یانماز، ۲۰۰۶). در حالت کلی شاید استفاده از دبی ماکریم جهت ارزیابی عمق حفره آبشنستگی مورد تردید باشد چون بیشترین عمق آبشنستگی که در طول هیدروگراف سیل اتفاق می‌افتد می‌تواند کوچک‌تر از مقدار محاسبه شده با استفاده از دبی پیک جریان باشد (چنگ و همکاران، ۲۰۰۴). میا و ناگو (۲۰۰۳)، توسعه تنش برشی بستر اطراف پایه در ترکیب با تئوری انتقال رسوبات بستر را مورد توجه قرار دادند و یک روش برای محاسبه تغییرات عمق آب شستگی با زمان ارائه نمودند. کتیاری و همکاران (۱۹۹۲) تغییرات عمق آبشنستگی را با توجه به پارامتر زمان، اطراف پایه‌های استوانه‌ای پل‌ها در شرایط جریان آب صاف، تحت جریان‌های غیردائمی که به کمک هیدروگراف پلکانی تقریب زده شده بود بررسی کردند. الیتو و همکاران (۲۰۰۷) یک مدل تئوری ارائه داده‌اند که قابلیت ارزیابی پروسه آبشنستگی در شرایط جریان‌های غیردائمی را دارا می‌باشد. چنگ و همکاران (۲۰۰۴) در آزمایشگاه هیدرولیک دانشگاه ملی تایوان مطالعاتی در زمینه توسعه عمق حفره آبشنستگی اطراف پایه پل در شرایط آب صاف و تحت جریان‌های غیردائمی که با هیدروگراف‌های پلکانی تقریب زده شده بودند، انجام دادند.

دهقانی و همکاران (۲۰۰۹) نیز به تازگی مطالعاتی در زمینه شبیه سازی عددی آبشنستگی در اطراف *Archive of SID* پایه پل‌ها تحت جریان‌های غیردائمی انجام دادند.

امروزه کاربرد مدل‌های ریاضی در زمینه‌های مهندسی بسیار رایج شده است. از این رو از آنها در کارهای مهندسی رودخانه نیز به طور گسترده‌ای استفاده می‌شود. مدل‌های ریاضی سه بعدی به دلیل در نظر گرفتن جریان‌های چرخشی ناشی از برخورد جریان آب به پایه پل در این میان از جایگاه ممتازی برخوردار هستند، این در حالی است که مدل‌های یک بعدی و دو بعدی فاقد چنین توانایی می‌باشند. در این پژوهش پس از معرفی مدل ریاضی SSIIM و معادلات حاکم بر میدان جریان و رسوب، هدف شبیه‌سازی حداقل عمق حفره آبشنستگی موضعی اطراف پایه استوانه به صورت زمانی با استفاده از مدل ریاضی SSIIM تحت هیدرولوگراف‌های پلکانی جریان می‌باشد. در نهایت نتایج مدل سه بعدی SSIIM با داده‌های آزمایشگاهی مقایسه شده است.

مواد و روش‌ها

معرفی مدل ریاضی SSIIM: مدل SSIIM یک نرم‌افزار سه بعدی جهت شبیه‌سازی حرکت آب و رسوب بوده و نسخه اولیه آن توسط اولسن از دانشکده مهندسی هیدرولیک و محیط زیست دانشگاه علوم و تکنولوژی نروژ در سال ۱۹۹۳ معرفی گردید. این مدل دینامیک سیالات محاسباتی^۱ سه بعدی بر مبنای روش حجم محدود بوده و معادلات ناویر-استوکس^۲ را بر مبنای مدل آشفته‌گی k-E استاندارد حل می‌کند (اولسن و همکاران، ۱۹۹۹). البته این مدل قابلیت استفاده از دیگر مدل‌های آشفته‌گی را نیز دارد که توسط کاربر قابل انتخاب است. زمینه استفاده از آن در مهندسی رودخانه، محیط زیست، هیدرولیک و رسوب می‌باشد. بعدها استفاده از این برنامه در سایر موضوعات هیدرولیکی نظیر مدل کردن سریزها، افت در تونل‌ها، رابطه عمق و دبی در رودخانه‌ها و... نیز توسعه یافت. مزیت اصلی مدل SSIIM در مقایسه با سایر مدل‌های ریاضی سه بعدی، مدل‌سازی انتقال رسوب در بستر متخرک^۳ در هندسه‌های پیچیده است. در سال‌های اخیر از این مدل ریاضی در محاسبات کیفیت آب نیز استفاده شده است. این مدل معادلات ناویر-استوکس را با مدل k-E استاندارد بروی یک شبکه سه بعدی

تقریباً نامتعامد حل می‌کند. برای منفصل‌سازی معادلات روی حجم محدود ^{نیز از الگوریتم} *Archive of SID* ^{توانی} ^۳ استفاده دوم ^۳ استفاده می‌شود. همچنین در مدل SSIIM روش SIMPLE جهت ارتباط جمله فشار و سرعت به کار رفته و به کمک یک روش حل ضمنی، میدان سرعت محاسبه می‌گردد. سپس این مدل با استفاده از میدان سرعت محاسبه شده و با حل معادله پیوستگی رسوب به محاسبه تغییرات بستر می‌پردازد (اولسن، ۲۰۰۷).

معادلات حاکم بر میدان چریان: همان‌گونه که اشاره شد در این نرمافزار، معادلات حاکم بر میدان چریان معادلات ناویر-استوکس می‌باشند که جهت حل آن از مدل آشفتگی $k-E$ به صورت پیش فرض استفاده می‌گردد. معادلات ناویر استوکس برای سیالات تراکم‌ناپذیر در حالت برداری به صورت رابطه ۱ می‌باشد:

$$\frac{\partial u_i}{\partial t} + U_j \frac{\partial u_i}{\partial x_j} = \frac{1}{\rho} \frac{\partial}{\partial x_j} (-\rho \delta_{ij} - \rho \vec{u}_i \cdot \vec{u}_j) \quad (1)$$

که در رابطه فوق جمله اول سمت چپ جمله‌گذار (تغییرات زمانی) و جمله بعدی جمله جابجایی می‌باشد. اولین جمله سمت راست جمله فشار و بعدی جمله مربوط به تنش رینولدز است. جهت ارزیابی جمله اخیر به یک مدل آشفتگی نیاز می‌باشد. به طور خلاصه می‌توان معادلات حاکم بر میدان چریان در حالت آشفته را معادله پیوستگی و معادله‌های مومنتوم دانست. اگر فرض شود که چریان دائمی بوده ($\frac{\partial}{\partial t} = 0$) و سیال تراکم ناپذیر در نظر گرفته شود، معادلات مومنتوم و پیوستگی به ترتیب

به صورت زیر قابل بیان هستند:

$$\frac{\partial}{\partial x_j} (\rho u_i u_j) = -\frac{\partial P}{\partial x_j} \delta_{ij} + \frac{\partial}{\partial x_j} \mu \left(\frac{\partial u_i}{\partial x_j} + \frac{\partial u_j}{\partial x_i} \right) + \frac{\partial}{\partial x_j} (-\rho \vec{u}_i \cdot \vec{u}_j) \quad (2)$$

$$\frac{\partial}{\partial x_j} (\rho u_i) = 0 \quad (3)$$

که u_i و u_j مولفه سرعت، P چگالی سیال و F فشار کل می‌باشد. طبق رابطه‌های ۲ و ۳ می‌توان سه معادله مومنتوم و یک معادله پیوستگی نوشت که در آنها مجموعاً ۱۰ مجهول (سرعت در سه جهت u ، v ، w و فشار P و شش مولفه تنش رینولدز) وجود دارد که این به آن معنا است که تعداد مجهولات بیشتر از تعداد معادلات بوده و جهت حل آنها باید از معادلات آشفتگی نیز استفاده نمود.

مدل آشفتگی $k-\varepsilon$: در نرم‌افزار SSIIM به صورت پیش فرض از مدل آشفتگی $k-\varepsilon$ جهت محاسبه *Archive of SID* تنش‌های رینولدز استفاده می‌شود که معادله آن به صورت زیر است:

$$\frac{\partial k}{\partial t} + u_j \frac{\partial k}{\partial x_j} = \frac{\partial}{\partial x_j} \left(\frac{v_T}{\sigma_k} \frac{\partial k}{\partial x_j} \right) + P_k - \varepsilon \quad (4)$$

در این معادله v_T لزجت گردابهای بوده که توسط رابطه ۵ محاسبه می‌گردد:

$$v_T = C_\mu \frac{k}{\varepsilon^2} \quad (5)$$

در رابطه‌ی ۴، P_k به صورت زیر تعیین می‌شود:

$$P_k = v_T \frac{\partial u_j}{\partial x_i} \left(\frac{\partial u_j}{\partial x_i} + \frac{\partial u_i}{\partial x_j} \right) \quad (6)$$

در رابطه‌ی ۴، بیانگر میزان اتلاف انرژی جنبشی (k) بوده و با استفاده از رابطه ۷ تعیین می‌گردد:

$$\frac{\partial \varepsilon}{\partial t} + u_j \frac{\partial \varepsilon}{\partial x_j} = \frac{\partial}{\partial x_j} \left(\frac{v_T}{\sigma_k} \frac{\partial k}{\partial x_j} \right) + C_{\varepsilon 1} \frac{\varepsilon}{k} P_k + C_{\varepsilon 2} \frac{\varepsilon^2}{k} \quad (7)$$

در معادلات ۵ و ۷، ضرایب C ، ثابت‌هایی هستند که توسط کاربر قابل تغییر نمی‌باشند. مدل ریاضی SSIIM با به کارگیری معادلات ۱ تا ۷ معادلات مومنتوم و پیوستگی را در سه بعد محاسبه می‌کند.

محاسبه پروفیل سطح آب: پروفیل سطح آب در این نرم‌افزار با استفاده از بروونیابی فشار در سلول‌های داخلی نزدیک سطح آب تعیین می‌گردد. یک سطح مرجع در یک سلول واقع در پایین دست داده می‌شود که در این سلول، سطح آب ثابت و بدون تغییر مکان است. فشار در این سلول (P_{ref})، به عنوان فشار مرجع انتخاب شده و سپس یک اختلاف فشار برای هر سلول با کم نمودن از این فشار مرجع محاسبه می‌شود. این اختلاف فشارهای محاسبه شده با استفاده از رابطه ۸، مقدار جابجایی را برای هر سلول به دست می‌دهند.

$$\Delta h_y = \frac{1}{\rho g} (P_{ij} - P_{ref}) \quad (8)$$

محاسبات سطح آزاد آب^۱ با استفاده از یک روش مرز ثابت^۲ با گرادیان صفر برای تمام متغیرها انجام می‌پذیرد. موقعیت و جابجایی در این روش با الگوریتم‌های متفاوتی محاسبه می‌شود و بعضی از

آنها که به صورت پیش فرض نیستند، باید فراخوان گردند. باید توجه داشت که بعضی از این الگوریتم‌ها نسبت به گام زمانی بسیار حساس هستند.

در این روش ابتدا جابجایی عمودی برای سلول‌های سطح آب اعمال شده و به این ترتیب سلول‌های پایین‌تر نیز دارای جابجایی خواهند بود که میزان آن متناسب با توزیع لایه‌ها در جهت عمودی می‌باشد به طوری که نسبت اندازه سلول‌ها در جهت عمودی به عمق آب همواره مقدار ثابتی خواهد داشت.

معادلات حاکم بر رسوب: اساس محاسبه دبی رسوب در مدل ریاضی SSIIM بر مبنای حل معادله انتقال-پخش رسوب^۱ استوار می‌باشد. در این حالت ابتدا غلظت رسوب در فاصله بین سطح آب تا سطح مبنا محاسبه می‌گردد. تراز سطح مبنا معمولاً به صورت ضربی از قطر متوسط دانه‌ها در نظر گرفته می‌شود که روابط مختلفی در این خصوص تعريف شده و در این نرم‌افزار از رابطه ون-راین یعنی معادل $z = 2D \cdot h$ استفاده می‌شود. حمل رسوب نیز به دو نوع بار بستر و بار معلق تقسیم می‌گردد. بار معلق را می‌توان به کمک معادلات پخش-انتقال رسوب با محاسبه غلظت رسوب از رابطه $h = k \cdot W / g$ تعیین کرد. در این رابطه، W سرعت سقوط ذرات و k ضربی پخش می‌باشد که از معادله $k = 0.015 \frac{d^{0.3}}{a} \left[\frac{\tau - \tau_c}{\tau_c} \right]^{1.5} \left[\frac{(\rho_s - \rho_w)g}{\rho_w v^2} \right]^{0.1}$ استاندارد بدست می‌آید.

$$\frac{\partial c}{\partial t} + u \frac{\partial c}{\partial x_j} + w \frac{\partial c}{\partial z} = \frac{\partial}{\partial x_j} \left(\Gamma_T \frac{\partial c}{\partial x_j} \right) \quad (9)$$

$$\Gamma_T = \frac{V_T}{Sc} \quad (10)$$

در رابطه $Sc = 10$ عدد اشمعیت بوده و به صورت پیش‌فرض ۱ در نظر گرفته می‌شود. V_T نیز لزجت گردابه‌ای می‌باشد که در رابطه 5 توضیح داده شده است.

رابطه 11 توسط فان راین در سال (۱۹۸۷) جهت تعیین غلظت رسوب در نزدیکی بستر ارائه شده که در مدل ریاضی SSIIM از آن استفاده می‌شود (اولسن ۲۰۰۷).

$$C_{bed} = 0.015 \frac{d^{0.3}}{a} \left[\frac{\left(\frac{\tau - \tau_c}{\tau_c} \right)^{1.5}}{\left(\frac{(\rho_s - \rho_w)g}{\rho_w v^2} \right)^{0.1}} \right] \quad (11)$$

در رابطه فوق، d قطر متوسط ذرات رسوبی، a تراز سطح مینا، τ تنش برشی بستر، τ_c تنش برشی بحرانی بستر برای جابجایی ذرات رسوبی با توجه به دیاگرام شیلدز، ρ_s و ρ_w چگالی آب و رسوب، v لزجت سینماتیکی آب و g شتاب ثقل است. مدل ریاضی SSIIM جهت محاسبه بار بستر از رابطه زیر استفاده می‌نماید:

$$\frac{q_b}{D_{50}^{1.5} \sqrt{\frac{(\rho_s - \rho_w)g}{\rho_w}}} = 0.053 D_{50}^{0.3} \left[\left(\frac{(\rho_s - \rho_w)g}{\rho_w v^2} \right) \right]^{0.1} \left[\frac{\tau - \tau_c}{\tau_c} \right]^{1.5} \quad (12)$$

در رابطه ۱۲ D_{50} اندازه متوسط ذرات رسوبی است. بقیه پارامترها در روابط قبلی معرفی شده‌اند.

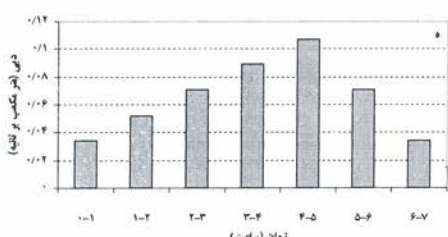
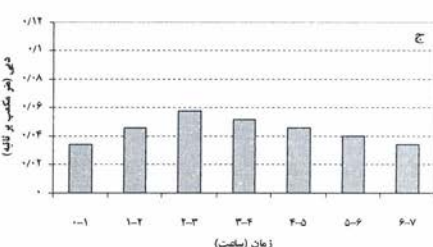
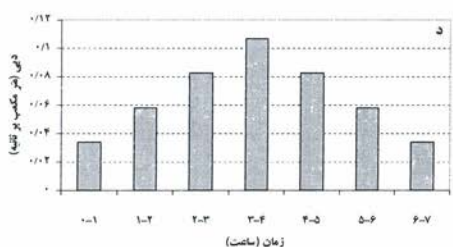
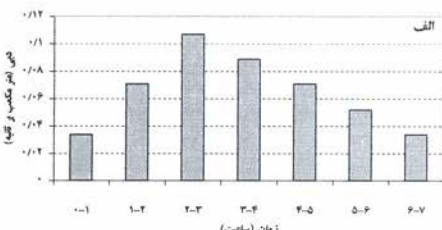
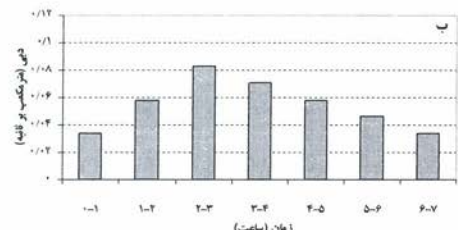
داده‌های آزمایشگاهی مورد استفاده در شبیه‌سازی عمق آبستنگی: بهمنظور واسنجی و صحت سنجی نتایج مدل ریاضی از نتایج آزمایشگاهی چنگ و همکاران (۲۰۰۴) که در آزمایشگاه انسیتو تحقیقات فناوری هیدرولیک دانشگاه ملی تایوان به دست آمده، استفاده گردید. آزمایش‌ها در کanalی به طول ۳۶ متر و به عرض ۱ متر با مصالح بستر یکنواخت به قطر ۷/۱ میلی‌متر در شرایط جريان آب صاف انجام شد. يك پایه استوانه‌ای از جنس پلکسی گلاس و به قطر ۱۰ سانتی‌متر در مرکز قسمت میانی کanal قرار داده شده و تغییرات زمانی پروفیل سطح بستر اطراف پایه نیز به کمک دو دوربین با قطر لنز ۲ میلی‌متر که در داخل پایه کار گذاشته شده‌اند، برداشت شده است.

از آنجا که هدف، شبیه‌سازی آبستنگی حول پایه استوانه‌ای تحت شرایط جريان غیر دائمی است، از هیدروگراف‌های شکل ۱ که به صورت پلکانی^۱ می‌باشد، استفاده گردید. با توجه به زمان تداوم هفت ساعته جريان در اين هیدروگراف‌ها، شرایط مرزی دبی در هر يك ساعت از روی هیدروگراف پلکانی به دست آمده است. سپس به ازای هر دبی و با استفاده از داده‌های آزمایشگاهی، تراز آب پایین دست در هر بازه ۱ ساعته به دست آمد. در اين حالت در هر کدام از هیدروگراف‌های پلکانی جريان، هفت گام زمانی يك ساعته وجود دارد که در طول هر کدام از اين گام‌های يك ساعت، شرایط مرزی دبی و تراز آب پایین دست ثابت خواهد بود. لازم به ذکر است که شرایط مرزی دبی و تراز آب پایین دست در هر گام، به گونه‌ای تنظیم شده تا شرایط آب زلال حاکم باشد.

سپس با توجه به اين که در ساعت اول برای تمام هیدروگراف‌ها مقدار دبی و تراز سطح آب پایین دست يكسان نیست (نکته ۱)، بنابراین شرایط مرزی دبی و تراز آب پایین دست فلوم در ساعت اول

جهت کالیبره کردن مدل ریاضی انتخاب گردید و سپس با به کارگیری زیری های مختلف و اجرای *Archive of SID* مدل، مدل با تخصیص زیری مناسب و گام های زمانی ۵ ثانیه ای کالیبره شد.

در شکل ۱ هیدروگراف های الف، ب و پ در ساعت سوم به دبی پیک می رستند و تفاوت آن ها فقط در مقدار دبی پیک است. هیدروگراف پ دارای کمترین مقدار دبی پیک در مقایسه با چهار هیدروگراف دیگر بوده و نسبت به دیگر هیدروگراف ها روند تغییرات دبی در گام های مختلف زمانی تدریجی و ملایم می باشد. هیدروگراف های الف، ت و ج دارای دبی پیک یکسانی بوده و تفاوت آن ها در زمان رسیدن به دبی پیک می باشد. از این رو هیدروگراف الف یک هیدروگراف تیز است. این در حالی است که هیدروگراف پ هیدروگرافی ملایم می باشد.

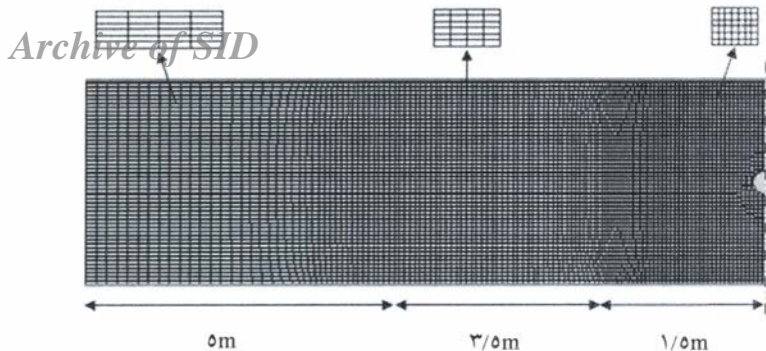


شکل ۱- هیدروگراف های پلکانی به کار رفته در شبیه سازی.

شبیه‌سازی میدان جریان و رسوب در اطراف پایه پل: اولین مرحله قبل از اجرای مدل ریاضی، تقسیم‌بندی ناحیه مورد نظر به سلول‌هایی است که معادلات دیفرانسیل حاکم بر میدان جریان و رسوب باید برای آن‌ها حل گرددند. این فرایند، مش‌بندی (شبکه‌بندی) نامیده می‌شود.

Archive of SID ساختن شبکه مناسب زمان برترین فرآیند آماده‌سازی اطلاعات ورودی برای مدل ریاضی SSIIM می‌باشد که دقت محاسبات، همگرایی و زمان محاسبات را تحت تأثیر قرار می‌دهد. جهت کاستن زمان و حجم محاسبات و در عین حال افزایش دقت آن، شبکه ساخته شده توسط یک برنامه جداگانه که به وسیله مؤلفین به زبان QBASIC تهیه شده است در سه مرحله و به تدریج با نزدیک شدن به پایه پل ریز شده است، به طوری که در فواصل دورتر از پایه، اندازه سلول‌ها 5×1 سانتی‌متر و سپس با کمتر شدن فاصله $1 \times 2/5$ سانتی‌متر و در نهایت در ۳ متر میانی در اطراف پایه استوانه‌ای 1×1 سانتی‌متر تعیین شده است. شکل ۲ ریزتر شدن تدریجی شبکه را به صورت شماتیک و بدون مقیاس در نیمی از کanal نشان می‌دهد.

تعداد مقاطع استفاده شده در پلان در جهت طولی و با توجه به طول در نظر گرفته شده فلوم، ۷۸۱ و در جهت عرضی، ۱۰۱ عدد بود. با توجه به اینکه در جهت قائم توزیع خطوط شبکه در ۰، ۱۰، ۲۰، ۳۰، ۵۰، ۷۰ و ۱۰۰ درصد عمق جریان بوده، تعداد کل سلول‌ها در شبکه سه‌بعدی مدل ۵۴۶۰۰۰ عدد بوده است. با توجه به حساس بودن تغییرات سرعت در کف فلوم توزیع خطوط شبکه در نزدیکی بستر فشرده‌تر در نظر گرفته شده است. با استفاده از شبکه توصیف شده در بالا و به کمک یک کامپیوتر مجهز به پردازشگر Pentium(R) Dual-Core 2.50 GHz و حافظه RAM با حجم 4GB شبیه‌سازی توسعه زمانی آبیستگی تحت شرایط مرزی هر کدام از گام‌ها حدود ۷ شباهه روز به طول می‌انجامد. این *Archive of SID* مدل که هر کدام از هیدروگراف‌ها دارای هفت گام یک ساعته بودند. لازم به ذکر است که از اندازه‌های مختلف مش برای کالیبراسیون مدل استفاده شده و بهترین اندازه بر اساس دقت و زمان انجام محاسبات به دست آمد.

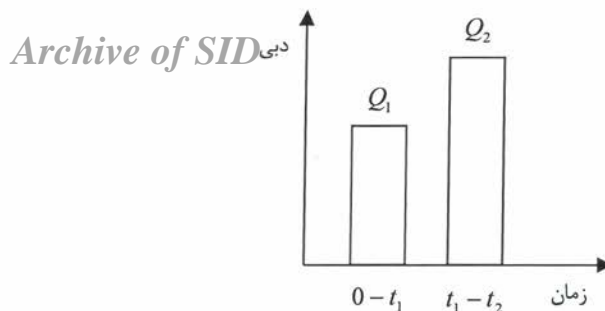


شکل ۲- ساختار مشن به کار رفته در شبیه‌سازی و نمایش شماتیک ریز شدن سلول‌ها با نزدیک شدن به پایه.

شبیه‌سازی توسعه آبشتستگی موضعی اطراف پایه پل تحت جریان غیر دائمی به کمک جریان دائمی با استفاده از مدل ریاضی **SSIHM**: همان‌گونه که در شکل ۱ نشان داده شده است، شرایط مرزی دبی و تراز آب پایین دست در هر کدام از گام‌های هیدروگراف‌ها فقط برای یک ساعت حاکم بوده و در ساعت بعد این شرایط مرزی متفاوت می‌باشد. از این رو روند حاکم در شبیه‌سازی آبشتستگی موضعی تحت جریان‌های غیرماندگار هیدروگراف، استفاده از قطعه‌های مناسب یک ساعتی از نمودار جریان ماندگار در شرایط مرزی مشابه با گام‌های هیدروگراف پلکانی با اعمال روش‌های تصحیحی است که توسط چنگ و همکاران (۲۰۰۴) پیشنهاد گردیده است. به بیان دیگر در این روش سطح زیر هیدروگراف به تعدادی مستطیل که هر کدام معرف دبی ثابتی می‌باشد، تقسیم می‌شود و مدل ریاضی برای هر کدام از این دبی‌ها برای مدت زمان برابر با مدت زمان هیدروگراف اجرا می‌گردد و نتایج زمانی حداکثر عمق آبشتستگی برداشت می‌شود.

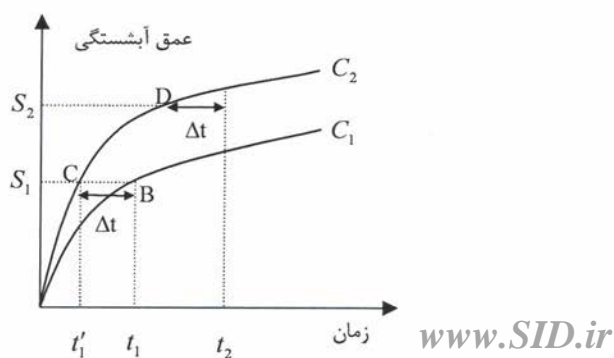
www.SID.ir

فرض کنید که شاخه صعودی هیدروگراف به دو مستطیل با دبی‌های ثابت مطابق شکل ۳ تقسیم شود. برای یافتن مقدار حداکثر عمق آبشتستگی، مدل ریاضی برای دبی‌های Q_1 و Q_2 اجرا می‌شود.



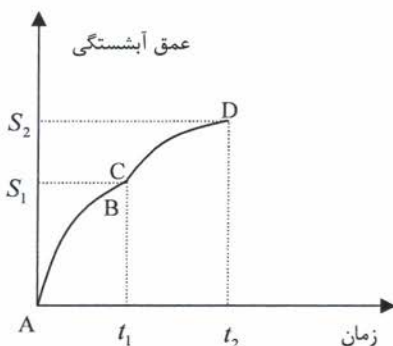
شکل ۳- الگوی هیدروگراف‌های پلکانی در شاخه صعودی.

در شکل ۴، C_1 و C_2 به ترتیب نمودار توسعه حفره آبشتستگی موضعی در شرایط دبی Q_1 و Q_2 از هیدروگراف پلکانی شکل (۳) می‌باشد. در روش تصحیح زمانی ابتدا عمق آبشتستگی در انتهای ساعت t_1 در نقطه B روی نمودار C_1 مشخص می‌گردد که برابر با S_1 است. در گام بعد زمان متناظر با عمق آبشتستگی S_1 بر روی نمودار C_2 در نقطه C تعیین می‌شود که با t'_1 نشان داده شده است. تفاوت زمانی بین t_1 و t'_1 با Δt در شکل ۴ مشخص شده و این مقدار به تمام زمان‌های متناظر با آبشتستگی‌های اندازه‌گیری شده بر روی نمودار C_2 در نقطه C و نقاط بعد از آن اضافه می‌گردد. این فرایند تا رسیدن به انتهای ساعت t_2 ادامه می‌باشد. بنابراین زمان متناظر با نقطه D روی نمودار C_2 فرایند تا رسیدن به انتهای ساعت t_2 همان t'_2 و عمق آبشتستگی برابر S_2 خواهد بود.



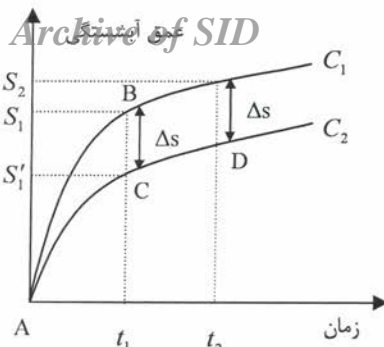
شکل ۴- نحوه اعمال روش تصحیح زمانی بر روی عمق‌های آبشتستگی اندازه‌گیری شده به کمک مدل ریاضی.

تحت این شرایط تمام نقاط واقع بر روی قطعه CD به اندازه Δt به سمت راست منتقل شده‌اند به طوری که نقطه C به موقعیت نقطه B انتقال یافته است. این روش ساده منجر به انتخاب قطعه‌های AB و CD از نمودارهای C_1 و C_2 به منظور شبیه‌سازی توسعه آبستتگی در شرایط جریان غیر ماندگار خواهد شد. نتیجه استفاده از این روش در شکل (۵) نمایش داده شده است. این فرآیند تا زمانی عملی خواهد بود که بتوان عمق آبستتگی اندازه‌گیری شده در هر مرحله را بر روی نمودار مرحله بعد نیز اندازه‌گیری کرد.

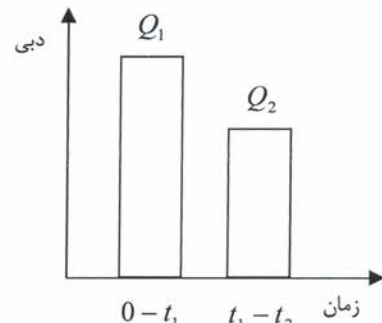


شکل ۵- نمودار شبیه‌سازی توسعه عمق حفره آبستتگی تحت جریان غیر دایمی شکل ۳.

از این رو در شاخه نزولی هیدروگراف نمی‌توان از روش فوق بهره برد و باید از روش تصحیح عمق‌های آبستتگی استفاده نمود. الگوی شاخه نزولی هیدروگراف‌های پلکانی در شکل ۶ نشان داده شده است. در شکل C_1 و C_2 به ترتیب نمودار توسعه حفره آبستتگی موضعی در شرایط دبی Q_1 و Q_2 از هیدروگراف پلکانی شکل ۶ هستند. در روش تصحیح عمق‌های آبستتگی، ابتدا عمق آبستتگی در انتهای ساعت t_1 در نقطه B روی نمودار C_1 مشخص می‌گردد که برابر با S_1 خواهد بود. در مرحله بعد عمق آبستتگی متناظر با زمان t_2 بر روی نمودار C_2 در محل نقطه C اندازه‌گیری می‌گردد که معادل S'_1 است. تفاوت مقدار عمق آبستتگی S_1 و S'_1 با ΔS مشخص شده که این مقدار به تمام عمق‌های آبستتگی اندازه‌گیری شده بر روی نمودار C_2 در نقطه C و نقاط بعد از آن اضافه می‌گردد.

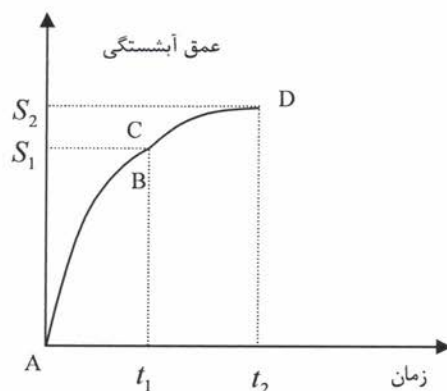


شکل ۷- نحوه اعمال روش تصحیح عمق‌های آبستنگی اندازه‌گیری شده به کمک مدل.



شکل ۶- الگوی هیدروگراف‌های پلکانی در شاخه نزولی.

بنابراین عمق آبستنگی متناظر با نقطه D پس از جمع شدن با ΔS همان S_2 خواهد بود. با اعمال این روش تصحیح تمام نقاط واقع بر روی قطعه CD به اندازه ΔS به سمت بالا منتقل شده‌اند به نحوی که نقطه C به موقعیت نقطه B انتقال یافته است. نتیجه استفاده از این روش در شکل ۸ نمایش داده شده است. این روش ساده منجر به انتخاب قطعه‌های AB و CD از نمودارهای C_1 و C_2 بهمنظور شبیه‌سازی توسعه آبستنگی در شرایط جریان غیر ماندگار خواهد شد (چنگ و همکاران، ۲۰۰۴).

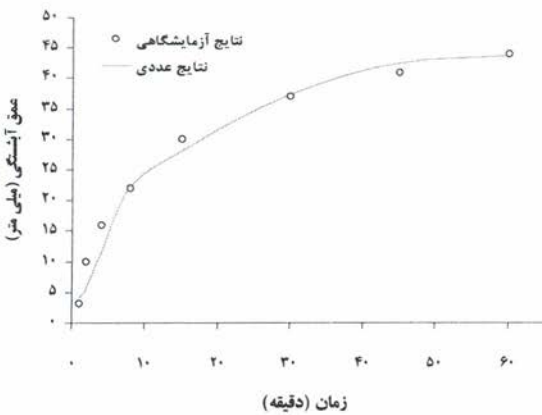


شکل ۸- نمودار شبیه‌سازی توسعه عمق حفره آبستنگی تحت جریان غیردانمی شکل ۶.
www.SID.ir

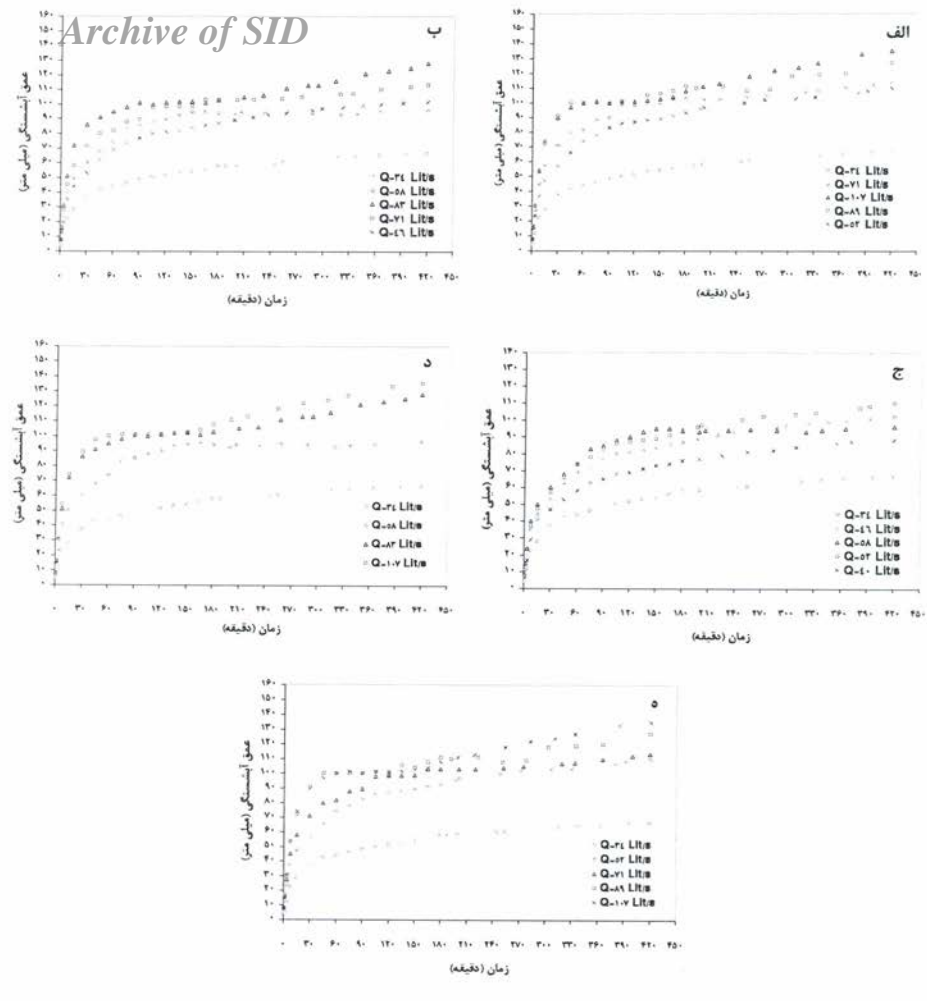
نتایج و بحث

Archive of SID

بررسی توسعه زمانی آبشنستگی موضعی حول پایه استوانه‌ای تحت جریان‌های دائمی: همان‌طور که در هیدروگراف‌های پلکانی شکل ۱ نشان داده شد، تمامی این هیدروگراف‌ها دارای زمان تداوم هفت ساعت بوده و با گام‌های زمانی یک ساعته تقریب‌زده شده‌اند. هر کدام از این گام‌ها دارای شرایط مرزی دبی و تراز آب پایین دست مخصوص به خود می‌باشند. از آنجا که دبی تا انتهای ساعت اول در تمامی هیدروگراف‌ها یکسان است، مدل ریاضی سه بعدی با شرایط مرزی دبی و تراز آب پایین دست در ساعت اول با گام‌های زمانی ۵ ثانیه‌ای و تخصیص زیری معادل $0.0052\text{ متر کالیبره}$ گردید (شکل ۹). لازم به ذکر است که علاوه بر اندازه‌های مختلف مش، از گام‌های زمانی مختلف (بین ۴ تا ۸ ثانیه) و نیز روابط مختلف رسوبی برای کالیبراسیون مدل استفاده شده است. در شکل‌های ۱۰-الف تا ۱۰-ه توسعه زمانی عمق حفره آبشنستگی حول پایه استوانه‌ای، به ترتیب تحت شرایط مرزی دبی و تراز آب پایین دست گام‌های مختلف هیدروگراف‌های شکل ۱-الف تا ۱-ه در شرایط جریان دائمی نشان داده شده است.



شکل ۹- مقایسه تغییرات عمق حفره آبشنستگی حول پایه استوانه‌ای در ساعت اول به کمک نتایج مدل ریاضی و آزمایشگاهی.

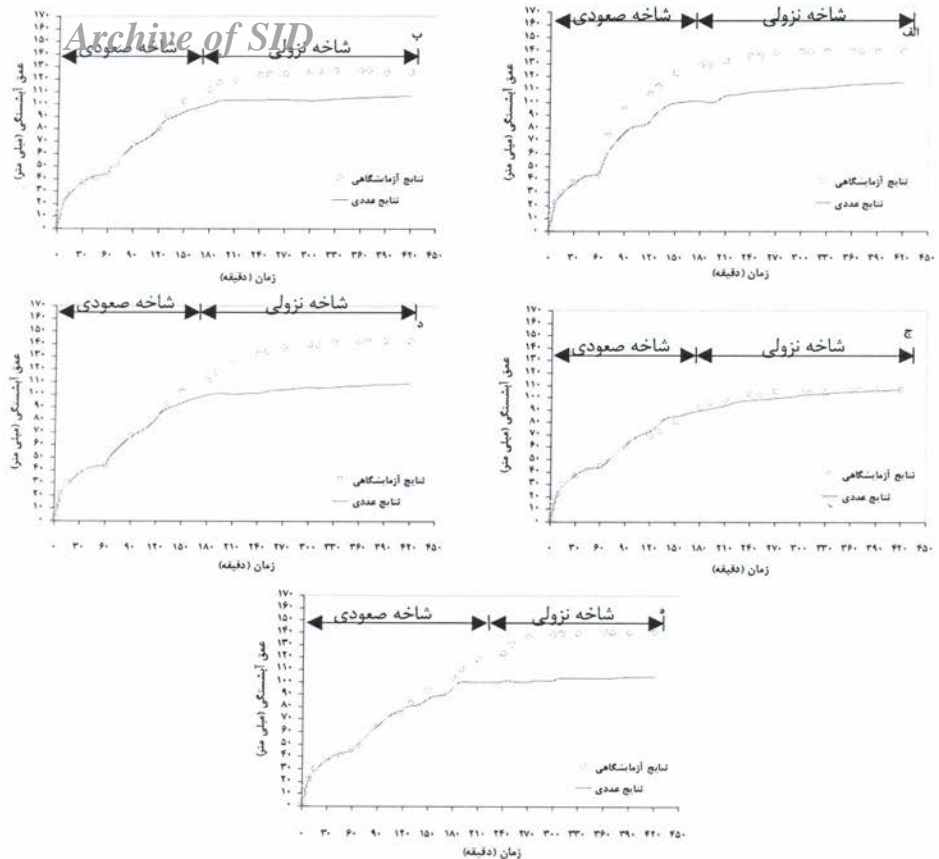


شكل ۱۰- نمودار توسعه زمانی عمق حفره آبستنگی موضعی تحت جریان ماندگار در شرایط مرزی گام‌های الف) هیدروگراف شکل ۱-الف، ب) هیدروگراف شکل ۱-ب، ج) هیدروگراف شکل ۱-ج، د) هیدروگراف شکل ۱-د و ه) هیدروگراف شکل ۱-ه.

بررسی توزیعه زمانی آبشنستگی موضعی حول پایه استوانه‌ای تحت جریان‌های غیردائمی: توسعه عمق حفره آبشنستگی در طول زمان تداوم هیدروگراف‌ها مطابق با آنچه در شبیه‌سازی توسعه آبشنستگی موضعی اطراف پایه پل تحت جریان غیردائمی به کمک جریان دائمی با استفاده از مدل ریاضی SSIIM توضیح داده شد، به کمک نرم‌افزار SSIIM شبیه‌سازی گردید. این نتایج در شکل ۱۱ نشان داده شده است. با توجه به شکل مشخص است که قسمت اعظم آبشنستگی در جریان‌های غیردائمی تا هنگام رسیدن به دبی پیک هیدروگراف اتفاق می‌افتد و پس از آن در زمان فروکش کردن هیدروگراف تا پایان زمان تداوم آن، عمق آبشنستگی به مقدار ناچیزی افزایش می‌یابد. این نتیجه با نتایج مشاهدات آزمایشگاهی چنگ و همکاران (۲۰۰۴) مطابقت دارد.

در شکل ۱۲ مقادیر آبشنستگی اندازه‌گیری شده در برابر نتایج حاصل از شبیه‌سازی به کمک نرم‌افزار SSIIM به ترتیب تحت هیدروگراف‌های جریان شکل ۱ نشان داده شده است. همان‌طور که از نتایج نشان داده شده در شکل ۱۱ مشخص است نتایج مدل ریاضی و آزمایشگاهی در شاخه صعودی تحت تمام هیدروگراف‌ها از تطابق خوبی برخوردار می‌باشد. نتایج مدل ریاضی در شاخه نزولی نسبت به شاخه صعودی از دقت کمتری برخوردار است. میزان دقت نتایج مدل ریاضی در شاخه نزولی تحت هیدروگراف‌های ب و پ نسبت به سایر هیدروگراف‌های جریان بهتر می‌باشد. در جدول (۱) خلاصه مشخصات هیدروگراف‌های جریان و نتایج بدست آمده از مدل ریاضی نمایش داده شده است.

شکل‌های ۱۱ و ۱۲ به خوبی نشان می‌دهند که قسمت عده‌آبشنستگی در پایان شاخه صعودی حاصل می‌شود به‌طوری‌که بیش از ۷۰ درصد عمق نهایی آبشنستگی نهایی در پایان زمان رسیدن به دبی پیک رخ داده است. همچنین نتایج مدل ریاضی تحت هیدروگراف جریان شکل ۱-پ از دقت بسیار خوبی چه در شاخه نزولی و چه در شاخه صعودی برخوردار هستند. در این هیدروگراف اختلاف دبی پیک و حداقل نسبت به سایر هیدروگراف‌ها کمتر می‌باشد. بنابراین هر چه تغییرات دبی هیدروگراف کمتر باشد و یا هیدروگراف ملایم‌تر باشد، تفاوت مقادیر مشاهداتی و محاسباتی کمتر است.

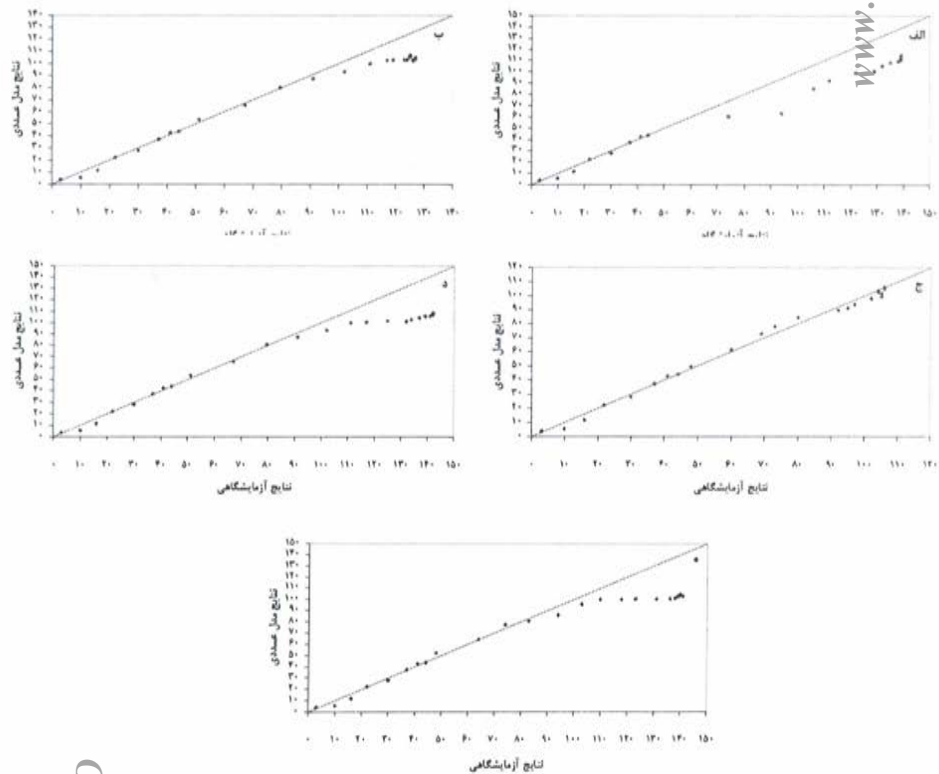


شکل ۱۱- توسعه زمانی عمق حفره آبستنگی حول پایه استوانه ای. الف) تحت هیدروگراف ۱-الف، ب) تحت هیدروگراف ۱-ب، ج) تحت هیدروگراف ۱-ج، د) تحت هیدروگراف ۱-د و ه) تحت هیدروگراف ۱-ه.

طبق نتایج بدست آمده از مدل ریاضی تحت هیدروگراف‌های جریان شکل ۱-الف، ۱-د و ۱-ه که در همه آن‌ها مقدار دبی پیک یکسان بوده و فقط زمان رسیدن به دبی پیک در آن‌ها متفاوت است، مشاهده می‌شود که بین ۷۱ تا ۷۳ درصد عمق آبستنگی نهایی تا زمان رسیدن به دبی پیک حاصل شده است.

این در حالی است که با تغییر دبی پیک از ۵۸ لیتر بر ثانیه در هیدروگراف شکل ۱-ج به ۸۳ لیتر بر ثانیه در هیدروگراف شکل ۱-ب، عمق آبستنگی بدست آمده تا زمان رسیدن به دبی پیک بیش از

۱۱ درصد افزایش پیدا کرده است. این مطلب بیانگر آن است که نقش تغییرات دبی پیک بر عمق آبستنگی بیشتر از نقش تغییرات زمان رسیدن به دبی پیک می‌باشد.



شکل ۱۲- نمایش مقدار اختلاف مقادیر آبستنگی بدست آمده به کمک نرم افزار و نتایج آزمایشگاهی در زمان های متناظر. الف) تحت هیدروگراف ۱-الف، ب) تحت هیدروگراف ۱-ب، ج) تحت هیدروگراف ۱-ج، د) تحت هیدروگراف ۱-د و ه) تحت هیدروگراف ۱-ه.

به طور کلی در شاخه نزولی بعضی از هیدروگرافها به دلیل تغییر ماهیت شرایط مرزی دبی و تراز سطح آب از حالت صعودی به نزولی، نتایج این تغییر شرایط با کمی تأخیر در نتایج مدل ریاضی ظاهر

می‌شود و همین یکی از دلایل ایجاد خطأ خواهد شد. مقدار خطأ نتایج مدل ریاضی در شاخه نزولی با میزان اختلاف دبی پیک و مینیمم در شاخه صعودی نسبت مستقیمی دارد.

جدول ۱. آمار مربوط به جریان‌های ناپایدار تحت هیدروگراف‌های جریان.

شماره هیدروگراف	مقدار دبی پیک (لیتر بر ثانیه)	نسبت دبی پیک به می‌نیم	زمان رسیدن به دبی پیک (ساعت)	مقدار R در نتایج محاسبات عمق های آبستنگی مشاهداتی	نتایج مقدار عمق آبستنگی مشاهداتی	میانگین خطا در زمان های متناظر
۱-الف	۱۰۷	۳/۱۵	۲	۰/۹۸۴۶	۲۲	۲۰
۱-ب	۸۳	۲/۴۴	۳	۰/۹۸۲۹	۱۰	۱۲
۱-ج	۵۸	۱/۷	۳	۰/۹۹۳۹	۳	کمتر از ۱
۱-د	۱۰۷	۳/۱۵	۴	۰/۹۶۵۲	۲۳	۱۶
۱-ه	۱۰۷	۳/۱۵	۵	۰/۹۵۱۰	۲۶	۱۵

نتیجه‌گیری

با توجه به خروجی‌های به دست آمده از مدل ریاضی SSIIM در شکل‌های ۱۱ و ۱۲ و جدول (۱) نتایج زیر حاصل می‌گردند:

- نتایج به دست آمده بیانگر آن است که خروجی‌های مدل ریاضی در شاخه صعودی هیدروگراف‌ها در تمام شرایط بسیار خوب است ولی دقت نتایج مدل ریاضی در شاخه نزولی به نوع هیدروگراف جریان وابسته است. این در حالی است که قسمت عمده آبستنگی در محل پایه پل در شاخه صعودی اتفاق می‌افتد.

- مدل ریاضی سه بعدی SSIIM توانایی مدل کردن توسعه عمق حفره آبستنگی در حالت وابسته به زمان تحت هیدروگراف جریان را دارد. دقت نتایج مدل ریاضی در شاخه صعودی هیدروگراف خوب است و در حالت کلی اختلاف نتایج مدل ریاضی و آزمایشگاهی در زمان‌های متناظر به طور متوسط کمتر از ۲۰ درصد می‌باشد، این مقدار در هیدروگراف ملایم شکل ۱-پ کمتر از ۱ درصد است.

- بر اساس نتایج محاسباتی، قسمت عمده آبستنگی نهایی مشاهداتی (بیش از ۷۰ درصد)، تا انتهای شاخه هیدروگراف جریان اتفاق می‌افتد. خطای مدل ریاضی در محاسبه عمق آبستنگی نهایی در انتهای ساعت هفتم تحت هیدروگراف‌های جریان شکل ۱-الف تا ۱-ه به ترتیب برابر ۱۷، ۱۵، ۱، ۲۴ و ۲۵ درصد می‌باشد.

- در شاخه نزولی بعضی از هیدروگراف‌ها بدلیل تغییر ماهیت شرایط مرزی دبی و تراو سطح آب از حالت صعودی به نزولی، نتایج این تغییر شرایط با کمی تاخیر در مدل ریاضی ظاهر می‌شود و همین باعث ایجاد خطا می‌گردد. اندازه این خطا با مقدار تفاوت دبی پیک و حداقل رابطه مستقیم دارد. همچنین می‌توان گفت هر اندازه دقت نتایج محاسباتی در شاخه صعودی و بهخصوص در زمان وقوع دبی پیک بیشتر باشد، میزان خطا در شاخه نزولی کاهش خواهد یافت.

- در هیدروگراف‌هایی که مقدار دبی پیک آن‌ها یکسان بوده و تفاوت آن‌ها در زمان رسیدن به دبی پیک می‌باشد، مقدار عمق آبستنگی در انتهای شاخه صعودی تفاوت کمی خواهد داشت و در شرایط یکسان زمان رسیدن به دبی پیک، هر چه تغییرات دبی هیدروگراف کمتر باشد و یا هیدروگراف ملایم‌تر باشد، تفاوت مقادیر مشاهداتی و محاسباتی کمتر است. بنابراین مقدار دبی پیک نقش اصلی در تغییرات عمق آبستنگی را دارا می‌باشد.

سپاسگزاری

نویسنده‌گان در اینجا بر خود لازم می‌دانند از همکاری صمیمانه آقایان W.Y. Chang و محقق مرکز ملی High-Performance Computing پارک تحقیقات و فناوری Hsinchu در تایوان، دکتر لشته نشایی و دکتر مهرداد اعضای هیات علمی دانشگاه گیلان و J.S. Conaway محقق و مسئول ارتباطات سازمان USGS-بخش تحقیقات آبستنگی در ایالت آلاسکای آمریکا، صمیمانه تشکر نموده و مراتب قدردانی خود را ابراز نمایند.

منابع

- Chang, W.Y., Lai, J.S., and Yen, C.L. 2004. Evolution of scour depth at circular bridge piers. *Journal of Hydr. Engng. ASCE*. 130:9: 905-913.
- Conaway, J.S. 2004. Summary and Comparison of Multiphase Streambed scour Analysis at Selected Bridge Sites in Alaska. U.S. Department of the Interior, U.S. Geological Survey Publication, Scientific Investigation Report, 34 p.
- Dehghani, A.A., Esmaeili, T., Kharaghani, S., and Pirestani, M.R. 2009. Numerical simulation of scour depth evolution around bridge piers under unsteady flow condition. Pp: 5888-5895, In Proceeding of 13th WASHD Congress: Water Engineering for a Sustainable Environment, Vancouver, Canada.
- Esmaeili, T., Dehghani, A.A., Zahiri, A.R., and Suzuki, K. 2009a. 3D Numerical Simulation of Scouring around Bridge Piers (Case Study: Bridge 524 crosses

the Tanana River). 58: 1557-1561, In Proceeding of International Conference on Civil Engineering and Environment (ICCEE 2009), Venice, Italy.

5. Esmaili, T., Kharaghani, S., and Dehghani, A.A. 2009b. Numerical Simulation of Local Scouring Around Circular Bridge Piers Under Unsteady Flow Condition. 3:114, In Proceeding of 8th International Congress on Civil Engineering (8ICCE), Shiraz University, Iran. (In Persian)
6. Esmaili, T. 2009. Hydraulic and Geometric Numerical Simulation of Scouring around Concrete Bridge Piers (*case study*). M.Sc. Thesis, Islamic Azad University south-Tehran Branch, 170p. (In Persian)
7. Kothyari, U. C., Garde, R.J., and Range Raju, K.G. 1992. Temporal variation of scour around circular bridge piers. Journal of Hydr. Engrg. ASCE. 118:8: 1091-1106.
8. Mendoza-Cabral, C. 1993. Computation of flow past a pier mounted on a flat plate. Pp: 899-904, In Proceeding of ASCE Environment Water Resources Management Conference, San Francisco, U.S.A.
9. Mia, M. F., and Nago, H. 2003. Design model of time-dependent local scour at circular bridge piers. Journal of Hydr. Engrg. ASCE. 130:6: 420-427.
10. Murillo, J. A. 1987. The scourge scour. J. Hyd. Engr. ASCE. 57:7:66-69.
11. Olsen, N. R. B. 2007. A three dimensional numerical model for simulation of sediment movements in water intakes with multiblock option. Online User's manual, 166p.
12. Olsen, N.R.B., Jimenes, O.F., Abrahamsen, L., and Lovoll, A. 1999. 3D CFD modeling of water and sediment flow in a hydropower reservoir. International Journal of Sediment Research, 14:16-24.
13. Oliveto, G., Di Domenico, A., and Comuniello, V. 2007. Temporal evolution of live-bed scour at bridge piers. In CD-ROM Proceeding of the 32nd IAHR Congress, Rom, Italy.
14. Roheds, J., and Trent, R.E. 1993. Economic of floods, scour and bridge failures. Pp: 928-933, In Proceeding of ASCE Environment Water Resources Management Conference, San Francisco, U.S.A.
15. Shafei Bajestan, M. 2005. Hydraulic of Sediments. Ahvaz University press, Third Edition, 370p. (In Persian)
16. Yanmaz, A. M. 2006. Temporal variation of clear water scour at cylindrical bridge piers. Can. Journal of Eng 33: 908-1102.
17. Zarrati, A. R. 2002. Hydraulic Factors in Bridge Design. Amirkabir University of Technology Press. Second Edition. 183p. (Translated in Persian).

Using time invariant flow condition for simulation of local scour depth around circular piers under time varying flow

A.A. Dehghani¹, T. Esmaeili² and Z. Sadeghi

¹ Assistant Prof., Dept. of Water Engineering, Gorgan University of Agricultural Sciences and Natural Resources, ² Instructor, Dept. of Civil Engineering, Islamic Azad University, Aq Qala Branch, ³M.Sc. Graduated, Dept. of Water Engineering, Gorgan University of Agricultural Sciences and Natural Resources

Received: 2012-5-14; Accepted: 2012-7-3

Abstract

Local scouring around bridge piers had been considered as an undesirable event and against the bridge safety. In this process, the 3D flow patterns in the vicinity of bridge pier have important role and cause the bed material erosion around bridge pier. Embedment of the foundation in the depth deeper than the maximum local scour depth according to the design flood has been proposed as a conservative solution. However, implementation of the pier foundation in a deep depth from the original bed level is not an economic solution in practical cases. In real cases, the variant stream flow of floods is the main reason of bridge failures. In this study the evolution of local scour depth around circular bridge piers under unsteady flow condition of hydrographs has been numerically simulated using steady flows. The results showed that during the rising period of hydrograph, the scour depth increased steadily and more than 70% of final scour depth occurred at the rising limb of hydrograph. The results also show that by using the SSIIM program, it will be possible to evaluate the local scour depth in the end of rising limb of hydrograph with a satisfying accuracy.

Keywords: Local scouring; Flood hydrograph; Unsteady flow; SSIIM model